

مقایسه مدل‌های بازپراکنش سطح خاک به منظور اعتبار سنجی و معکوس‌سازی برخی پارامترهای فیزیکی سطح خاک

*^۱ سید محمد میرمظلومی^۱، محمود رضا صاحبی^۲

- ۱ فارغ‌التحصیل کارشناسی ارشد سنجش از دور دانشگاه صنعتی خواجه نصیرالدین طوسی، دانشکده زمین‌سازی و آبادانی
-۲ استادیار پژوهشکده سنجش از دور، دانشکده زمین‌سازی و آبادانی دانشگاه خواجه نصیرالدین طوسی

تاریخ دریافت مقاله: ۱۳۹۴/۱۲/۲۶ تاریخ پذیرش مقاله: ۱۳۹۴/۰۹/۰۴

چکیده

استفاده از داده‌های رادار با روزنه مجازی بهترین و پر طرفدارترین روش بازیابی پارامترهای سطح خاک است. در این تحقیق سعی بر انتخاب بهترین مدل برای تخمین پارامترهای سطح خاک با استفاده از داده‌های آزمایشات رطوبت خاک ۰۳ در منطقه اوکلاهومای جنوبی است. با استفاده از مدل‌های بازپراکنشی آه، دوبوآ و رابطه تجمعی در سه باند L, C و P ابتدا به مقایسه ضرایب بازپراکنشی حاصل از مدل و تصویر در پلاریزاسیون‌های افقی و عمودی پرداخته شده است؛ سپس با استفاده از معکوس همان مدل‌ها و روش‌های ریاضی، پارامترهای زبری سطح، ضریب ثابت دی‌کلتیریک و طول همبستگی محاسبه شده و نتایج با مقادیر اندازه‌گیری شده زمینی مقایسه شده است. در بخش مقایسه ضرایب بازپراکنش، مدل آه در باند C بهترین دقت را دارد. در این بخش مدل‌های دوبوآ و رابطه تجمعی در باند L دقت‌های مناسبی دارند، اما نسبت به بهترین حالت نتایج ضعیفترا ارائه داده‌اند. در بخش بازیابی پارامترهای سطح خاک به عنوان اصلی‌ترین هدف تحقیق، روش حل معادلات با استفاده از سرشکنی که روی مدل رابطه تجمعی صورت گرفت، در تخمین تمامی پارامترها نتایج با دقت بهتری به دست آمدند، هرچند که مدل آه در باند C برای تخمین زبری سطح و همین مدل در باند L برای تخمین ضریب ثابت دی‌کلتیریک نتایج مناسبی ارائه داده است. از جمله نتایج این تحقیق می‌توان به نتایج نامناسب باند P اشاره کرد، که نتایج بسیار نامناسبی نسبت به سایر باندها دارد، هم‌چنین نتایج ضعیفترا مدل‌های تجربی در تخمین پارامترهای سطح خاک نسبت به مدل تئوری رابطه تجمعی اشاره کرد. هم‌چنین پیشنهاد می‌شود در صورت امکان از داده‌های زمینی با دقت مکانی بیشتر استفاده کرد.

کلید واژه‌ها : سنجش از دور، پارامترهای سطح خاک، مدل‌های بازپراکنش سطحی، رادار با روزنه مجازی.

*نویسنده مسئول: محمود رضا صاحبی؛ تهران- خیابان ولی‌عصر- تقاطع میرداماد- دانشکده نقشه‌برداری و آبادانی دانشگاه صنعتی خواجه نصیرالدین طوسی

تلفن: ۰۲۱۸۸۸۸۸۴۴۵

۱- مقدمه

ضریب بازتاب فرسنل^۲ و ثابت دی الکتریک است. سنجش از دور مایکروویو را می توان به دو بخش فعال و غیرفعال تقسیم کرد. در سنجش از دور غیرفعال منبع ایجاد انرژی خورشید است، و سنجنده موج بازتابی از سطح زمین را که توسط خورشید بازتاب شده است را دریافت می کند. اما در سنجش از دور فعال موج بازتابی توسط دستگاه فرستنده ارسال می شود. یک تفاوت عمدی بین سنجش از دور مایکروویو فعال و غیرفعال، قدرت تفکیک مکانی تولیدشده توسط آن هاست. سنجنده های مایکروویو فعال با نام رادار شناخته می شوند. یک سنجنده راداری شامل فرستنده و گیرنده است. فرستنده یک موج الکترومغناطیسی در محدوده امواج مایکروویو تولید و ارسال می کند و گیرنده موج بازگشته از سطح را دریافت می کند. اطلاعاتی که از این موج بازتابی قابل استخراج است، دو گونه است. اولین داده قابل استخراج، فاصله دستگاه راداری و هدف است که از اندازه گیری زمان رفت و برگشت موج و با توجه به ثابت بودن سرعت امواج الکترومغناطیس قابل محاسبه است (فاز). دومین داده از شدت موج بازگشته نسبت به موج اولیه قابل استخراج است و بازتابندگی هدف را مشخص می کند (شدت). این پارامتر به صورت ضریب بازپراکنشی^۳ قابل ارائه است، که با علامت اختصاری^۰ نشان داده می شود [۴]. ضریب بازپراکنشی، معمولاً در واحد دسی بل بیان می شود.

رابطه بین پارامترهای سطح خاک و سیگنال های راداری با استفاده از فناوری رادار با روزنیه مجازی از طریق مدل های بازپراکنش بیان می گردد. این مدل ها عموماً به ۳ دسته

پارامترهای خاک عنصر کلیدی در چرخه های جهانی آب و انرژی است. از این رو بررسی وضعیت پارامترهای خاک برای هیدرولوژی، هواشناسی، اقلیم شناسی، کشاورزی و بسیاری از علوم زمینی مناسب است [۱]. بررسی و پیاده کردن الگوریتمی برای بازیابی پارامترهای سطح خاک مانند رطوبت و زبری می تواند کمک شایانی به کاربردهای مختلف داشته باشد. پتانسیل رادار با روزنیه مجازی^۱ برای اندازه گیری پارامترهای خاک بیش از ۳۰ سال است که شناخته شده، ولی امروزه جستجو برای سنجنده های مناسب و الگوریتم های قابل اجرای بازیابی پارامترهای خاک به صورت ادامه دارد. بنابراین پیدا کردن مسیرهای جدید در تحقیقات پارامترهای خاک با استفاده از داده های رادار با روزنیه مجازی از اهمیت خاصی برخوردار است. با افزایش تعداد ماهواره های رادار با روزنیه مجازی و قدرت تفکیک مکانی بالا با فواصل زمانی کوتاه برای بازدید مجدد، پتانسیل مناسبی برای بهبود کیفیت بازیابی پارامترهای خاک از داده های رادار به وجود آمده است.

سنجش از دور مایکروویو تابش الکترومغناطیسی را در محدوده امواج الکترومغناطیسی در طول موج ۰/۵ تا ۱۰۰ سانتی متر اندازه گیری می کند. برای ماهواره های سنجش از دور در محدوده مایکروویو فقط طول موج های بزرگ تر از ۵ سانتی متر موثر است، زیرا که این محدوده طول موجی کمتر تحت تاثیر پوشش گیاهی و اتمسفر قرار می گیرد، عمق بیشتری از خاک را تشخیص می دهد و به رطوبت خاک بیشتر حساس هستند [۲ و ۳]. پایه و اساس سنجش از دور مایکروویو برای رطوبت خاک، تقابل ثابت دی الکتریک خاک خشک و مرطوب و رابطه بین

^۲ Fresnel

* محمود رضا صاحبی: تهران- خیابان ولیعصر- تقاطع میرداماد- دانشکده نقشه برداری و ژئوماتیک دانشگاه صنعتی خواجه نصیرالدین طوسی - تلفن: ۰۲۱۸۸۸۸۴۴۵

^۱ Synthetic aperture radar

مدل آه^۷ نسبت های ضرایب بازپراکنش را در قطبش های متفاوت با رطوبت خاک و زبری سطح مرتبط می کند [۵]. آلوارز و همکاران [۶] نشان دادند که وقتی داده های چندگانه قطبش^۸ در دست باشد، ثابت دی الکتریک و زبری سطح می تواند بدون نیاز به اندازه گیری های زمینی به دست آید. دوبوآ و همکاران، مدل نیمه تجربی دوبوآ^۹ را تنها برای بازپراکنش هم قطبش پیشنهاد کردند و برای استفاده از داده های بازپراکنش سنج جمع آوری شده در ۶ فرکانس بین ۲.۵ تا ۱۱ گیگاهرتز طراحی شده است، با این حال در مقایسه با ضرایب بازپراکنش غیرهم قطبش نسبت به نویز کمتر حساس است و دقیق تر نیز است و هم چنین آسان تر کالیبره می شود [۱۶]. تحقیقاتی مانند سیکدار و همکاران [۱۰] و نوش و همکاران [۱۱] بهترین نتایج را در مناطق خشک با پوشش گیاهی تنک بیان کردند. روش های بازیابی پارامترهای سطح خاک اکثرا به صورت استفاده همزمان از داده های چندگانه^{۱۰} است، به طور مثال صاحبی و انجلس با استفاده از داده های چندگانه زاویه برخورد^{۱۱} سنجنده رادرست-۱ با زاویه فرود ۳۵ و ۴۷ درجه و استفاده از معکوس مدل های مدل اختلال هندسی، مدل اختلال کوچک، آه و دوبوآ اصلاح شده به این نتیجه دست یافتند که مدل دوبوآ اصلاح شده بهترین مدل برای بازیابی پارامترهای سطح خاک در مناطق خشک است [۱۲]. هم چنین با مقایسه روش های چندگانه قطبش و چندگانه زاویه برخورد بر روی داده های رادرست، به کارآمدی بهتر روش چندگانه زاویه برخورد پی برند [۱۳]. در مقایسه مدل ها با استفاده از روش های چندگانه قطبش و چندگانه زاویه برخورد سنجنده های انوی است

⁷ Oh⁸ Multi-polarization⁹ Dubois¹⁰ Multi¹¹ Multi-angular

تقسیم می شوند: مدل های تئوری، تجربی و نیمه تجربی. اصول کلی این مدل ها بدین شکل است که^{۱۰} ضریب بازپراکنش^۱ تابعی از پارامترهای مربوط به سنسور شامل طول موج (λ)، زاویه برخورد^۲ (θ) و قطبش^۳ (p) است و پارامترهای تارگت به خصوصیات سطح مانند زبری، ثابت دی الکتریک (رطوبت) مربوط است. با حل این شکل از معادله می توان پارامترهای سطح خاک مانند زبری و رطوبت را به دست آورد.

برای محاسبه ای اشکال مختلف سنجنده ها و پارامترهای سطح، مدل های بسیاری از بازپراکنش توسط اولابی و همکاران [۵]، آه و همکاران [۶]، فانگ و چن [۷]، شی و همکاران [۸]، صاحبی و همکاران [۱۲ و ۱۴] سایر دانشمندان در طی ۳۰ سال گذشته برای تعیین رابطه بین سیگنال رادار و پارامترهای اصلی بیوفیزیکی توسعه یافته است، که بیشتر مطالعات بر روی شناسایی اثر زبری سطح و پوشش گیاهی در تخمین رطوبت انجام شده است. این مدل ها همان طور که گفته شد: مدل های تئوری، تجربی و نیمه تجربی هستند.

یکی از مهم ترین مدل های تئوری، مدل رابطه تجمعی^۴ (IEM) است. مدل رابطه تجمعی یک مدل فیزیکی بر مبنای انتقال تابشی است که توسط فانگ و چن [۵] براساس ترکیب مدل های کیرشهف^۵ و مدل اختلال کوچک^۶ (SPM) توسعه داده شد، این کار باعث شد که این مدل در مناطق وسیع تر با شرایط زبری قابل اجرا شود و در تئوری به مکان وابسته نباشد. در سال ۱۹۹۲ آه و همکاران مدلی تجربی را بر مبنای نتایج آزمایشگاهی ارائه دادند.

¹ Backscatter coefficient² Incidence angle³ Polarization⁴ Integration Equation Model⁵ Kirchhoff⁶ Small Perturbation Model

جمع آوری شده است. علت اصلی انتخاب این منطقه جهت انجام نمونه برداری های میدانی، وجود ایستگاه های مختلف هواشناسی و هیدرولوژی است. در این تحقیق، از داده های این منطقه به منظور مدل سازی و ارزیابی مدل های محاسبه پارامترهای سطح خاک استفاده شده است. منطقه تحقیقاتی آبخیز واشیتا کوچک^۳ در مرکز بخش اکلاهما جنوبی است که پوشش اصلی این ناحیه زمین های مرتع^۴ است. در این ناحیه تابستان ها معمولاً طولانی، گرم و خشک است. به طور کلی، بخش های غربی و شرقی این ناحیه دارای بافت خاکی رسی شنی است و در حدود ۳۰٪ مرکز این ناحیه دارای بافت خاک ماسه ای است. از سال ۱۹۹۲ تحقیقات زیادی در این ناحیه به منظور جمع آوری داده زمینی صورت گرفته که شامل پرروژه های واشیتا^۵، واشیتا^۶، آزمایشات رطوبت خاک^۷، ۰۲، ۰۳، ۰۴ و ۰۵ هستند. این منطقه در شکل (۱) که از تصاویر سنجنده تی ام ماهواره لندست^۸ که در تاریخ ۱۰ جولای سال ۲۰۰۳ میلادی تهیه شده است، نمایش داده شده است.

۲-۲- داده های مورد استفاده

داده های میدانی این تحقیق داده های آزمایشات رطوبت خاک^۹، اندازه گیری شده در تاریخ ۱۲ جولای ۲۰۰۳ میلادی است. نمونه برداری این داده ها به صورت سایتهاي با ابعاد ۸۰۰ در ۸۰۰ متر است. در هر سایت نمونه های خاک، دمای خاک، دمای محیط، میزان ثابت دی الکتریک (در عمق ۰-۶ سانتی متر) خاک اندازه گیری شده است. داده های استفاده شده از منطقه آبخیز واشیتا کوچک در این تحقیق شامل ۱۳ سایت و ۵۴ نقطه نمونه برداری در کل این سایتها است. پراکندگی نقاط زمینی در شکل (۲) که

و رادرست-۲، صاحبی و همکاران مدل رابطه تجمعی را بهترین مدل معرفی نمودند [۱۳].

بررسی همزمان روش های مستقیم شامل مدل های تئوری، تجربی و نیمه تجربی به طور همزمان با تمامی روش های معکوس می تواند دید کلی مطلوبی از رطوبت خاک در رادر با روزنہ مجازی ارائه دهد. در واقع روش های معکوس، همان بازیابی پارامترهای سطح خاک از معکوس مدل هاست. استفاده از روش های معکوس در واقع نوعی بهره وری بهینه از تمامی اطلاعات موجود سنجنده ها است. همچنین با مقایسه این روش ها از لحاظ نتایج به دست آمده می توان روش مناسب را کشف کرد و حتی با بهبود آن کمک شایانی در شناسایی بهترین روش در منطقه مورد مطالعه کرد. در واقع، با در نظر گرفتن شرایط منطقه مورد مطالعه می توان از مدل بهینه در مناطق مشابه بهره برد و دیگر به دنبال مدل یا روش مناسب نبود.

مهتمترین هدف این تحقیق بازیابی پارامترهای سطح خاک با استفاده از داده های رادر با روزنہ مجازی است که بتواند با ارائه روش های مناسب هر یک از پارامترهای خاک را بدون در نظر گرفتن پارامترهای تأثیرگذار دیگر بازیابی کند. همچنین یافتن بهترین مدل برای تخمین پارامترهای سطح خاک و حتی بهبود آن از دیگر اهداف است.

۲- مواد و روش

۲-۱- منطقه مورد مطالعه

منطقه مطالعاتی این تحقیق در جنوب شرقی ایالت اکلاهما^۱ در منطقه دشت بزرگ جنوبی آمریکا است. این منطقه مساحتی در حدود ۶۱۱ کیلومتر مربع را شامل می شود. داده های این منطقه توسط مرکز ملی داده های برف و یخ آمریکا^۲

^۳ Little Washita Experimental Watershed

^۴ Grass Land

^۵ SMEX (Soil Moisture EXperiments)

^۱ Oklahoma

^۲ National Snow and Ice Data Center (NSIDC)

تصاویر سنجنده ایرسار در فرمت ماتریس استوکس ذخیره شده‌اند. پس مرحله اول برای خواندن تصاویر مرحله ترکیب کردن^۹ و باز کردن^{۱۰} آنها برای استخراج ضرایب پسپراکنش برای هر تصویر است. پس از این مرحله هر تصویر شامل ۳ باند طیفی (P, L و C) و ۴ پلاریزاسیون (HH, VV, HV و TP) برای هر باند است. این پردازش توسط نرم افزار Envi نسخه ۵ انجام گرفته است. مشخصات این تصاویر در جدول (۱) بیان شده است.

۳-۲ روش تحقیق

در این تحقیق کار به دو بخش اصلی تقسیم شده است، بدین صورت که ابتدا با استفاده از داده‌های زمینی و جایگذاری آن‌ها در مدل‌های دوبوآ، آه و رابطه تجمعی بازپراکنش به دست آمده از این مدل‌ها را با مقادیر متناظر با آن نقطه در تصویر برای سه باند C, L و P مقایسه شده است و نتایج به صورت نمودارهایی که در راستای افقی داده‌های تصویر و در راستای عمودی نتایج مدل، نشان داده شده است. هدف از این کار مقایسه بین این سه مدل است و انتخاب بهترین آن‌ها، با توجه به این که صحت داده‌های به کار گرفته شده و همچنین شرایط منطقه تاثیر بسزایی در نتایج خواهد داشت و بنابراین نتایج این تحقیق در بخش اول صرفا برای مقایسه است. در بخش دوم که هدف اصلی نیز است، پارامترهای سطح خاک که شامل زبری، رطوبت و طول همبستگی (تغییرات افقی زبری سطح) است را با استفاده از معکوس مدل‌های دوبوآ، آه و رابطه تجمعی به دست آوردیم و سپس به مقایسه آن‌ها با نتایج زمینی پرداختیم که این مقایسه با استفاده از ریشه میانگین مربع انحراف^{۱۱} (RMSE) و

نقشه منطقه واشیتای کوچک است، نمایش داده شده است. برای هر سایت نمونه برداری، ثابت دیالکتریک خاک در عمق ۶-۰ سانتی‌متر با استفاده از تتا پروب^۱ اندازه‌گیری شده است، پروب‌های استفاده شده در این تحقیق دارای ۴ تیغه استیل جداگانه به طول ۶ سانتی‌متر بوده که به‌طور قائم در خاک فرو داده شده‌اند. در هر سایت، دو منطقه جداگانه برای محاسبه زبری سطح انتخاب شده است. در زمین‌هایی که دارای رج‌های ردیفی مشخص هستند مانند زمین‌های شخم‌زده و یا زمین‌های ذرت‌نها یک عکس زبری در راستای ردیف رج‌ها و یک عکس دیگر در راستای عمود بر آن کافی است. اما در زمین‌هایی که در حین پروژه شخم‌زده شده‌اند بعد از شخم زدن نیز دوباره نیاز به عکسبرداری زبری است. در این پروژه^۲ زبری توسط عکسبرداری از یک صفحه زبری سنج به طول یک متر که در سطح خاک قرار داده شده است محاسبه می‌شود.

سنجنده هوا برد ایرسار^۳ سازمان فضایی آمریکا^۴ متداول‌ترین سیستم تصویربرداری راداری هوایی است. این سنجنده ضریب بازپراکنش را در ۴ پلاریزاسیون (HH^۵, VV^۶, HV^۷ و TP^۸) و سه باند فرکانسی (1/26 GHz, 4/26 GHz و 5/31 GHz) P, L و C در طور همزمان داراست. همان‌طور که در جدول (۱) مشخص است، توان تفکیک مکانی تصاویر سنجنده ایرسار حدود ۶/۶ متر در راستای برد مایل و ۹/۲۶ متر در راستای آزیمут است.

¹ Theta Probe

² Roughness board

³ AIRSAR

⁴ National Aeronautics and Space Administration

⁵ Horizontal-Horizontal

⁶ Vertical-Vertical

⁷ Horizontal-Vertical

⁸ Total power

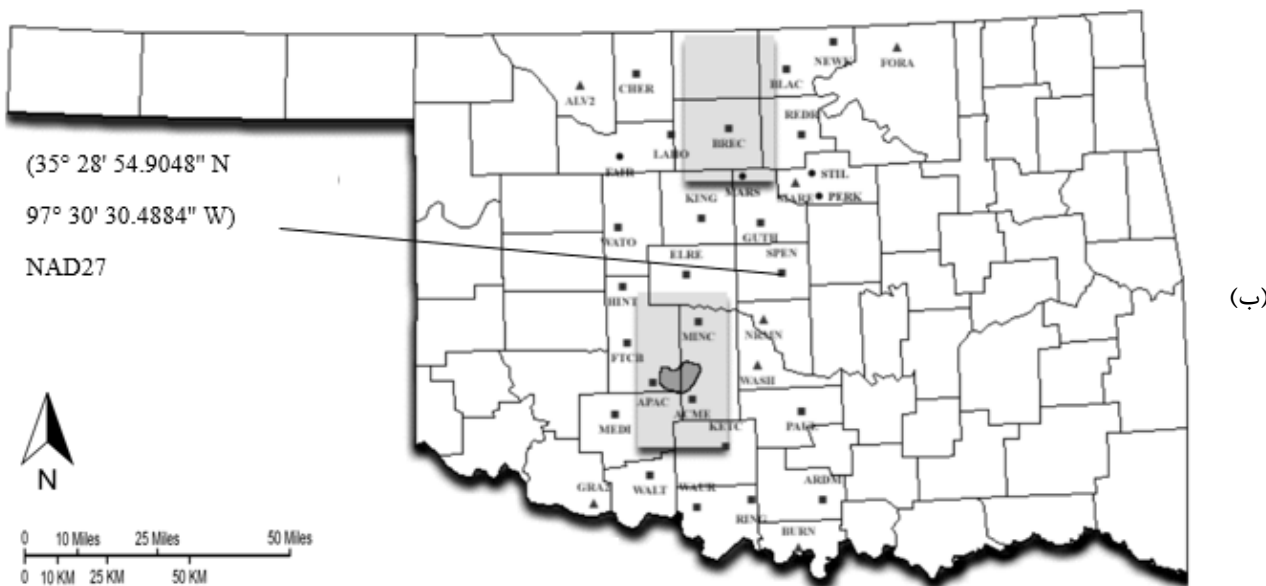
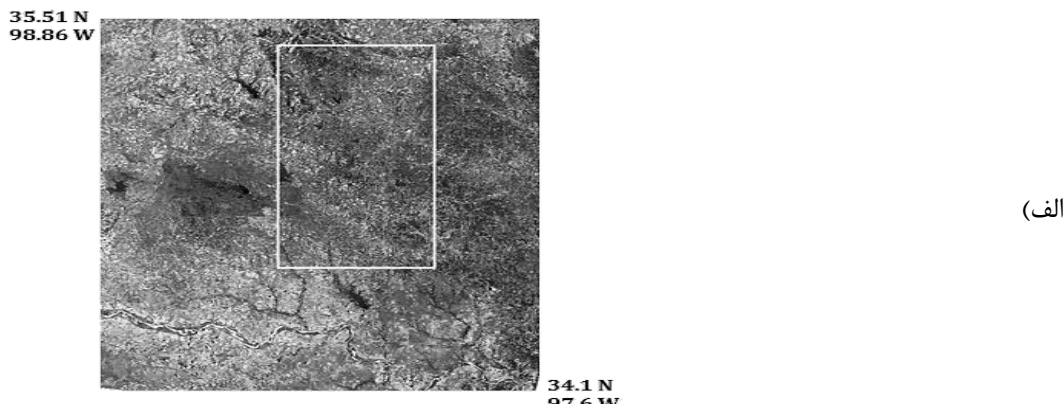
⁹ Synthesized

¹⁰ Decompressed

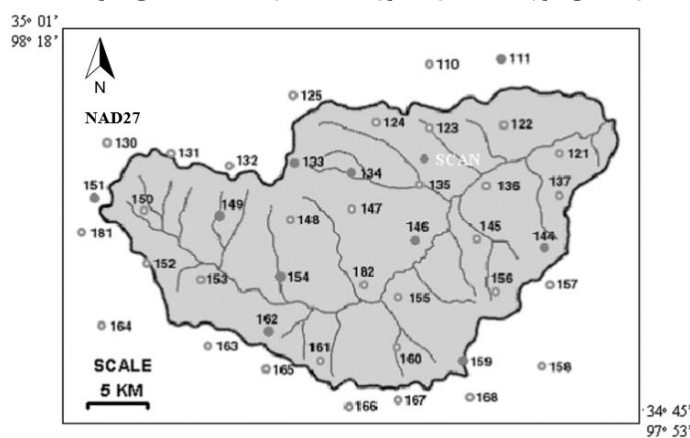
¹¹ Root Mean Square Error

و در راستای عمودی نتایج حاصل از معکوس مدل‌ها هستند.

نیمساز بین دو محور صورت گرفته است. نمایش نتایج بدین صورت است که در راستای افقی داده‌های زمینی



شکل ۱ : (الف): تصویر تی ام سنجنده لندست ۵ که ناحیه منطقه مطالعاتی را نشان می‌دهد. (ب): نقشه محدوده عملیات واشیتای کوچک (محدوده مورد مطالعه در ایالت اکلاهما آمریکا)



شکل ۲: نحوه توزیع نقاط زمینی اندازه‌گیری شده در نقشه منطقه واشیتای کوچک

جدول ۱: پارامترهای سنجنده هوایی براسار

C	L	P	باند
۵/۳۱	۱/۲۶	۰/۴۵	فرکانس باند (GHz)
۰-۷۰° (این میزان تثویری است و در عمل این زاویه بین ۲۰° و ۷۰° است)			زاویه فرود
	$\cong 8$		ارتفاع سنجنده (Km)
		۲۰	پهنهای باند (Mhz)
		۶/۷	قدرت تفکیک مکانی در راستای رنج (m)
		۹/۲۶	قدرت تفکیک مکانی در راستای آزیموت (m)

۲-۳-۲- پارامترهای سطح خاک

پارامترهای سطح خاک به صورت کلی از معکوس مدل های باز پراکنش به دست می آیند، اما آن چه که اهمیت دارد این است که آیا خود مدل قابلیت معکوس پذیری دارد یا خیر. در این تحقیق با توجه به ملاحظات ریاضی و فیزیکی از سه مدل دوبوآ، او و رابطه تجمعی استفاده شده است. نتایج مدل رابطه تجمعی با استفاده از روش بندلیش صورت گرفته [۱۵]، در واقع این روش به نوعی حل مجهولات معادله با استفاده از روش سرشکنی است.

برای به دست آوردن پارامتر ضریب دی الکتریک و زبری سطح با استفاده از مدل دوبوآ، از معکوس خود مدل استفاده می شود، که با جایگذاری پارامترهای تصویری، زبری سطح و ضریب دی الکتریک از دو معادله متفاوت به دست می آیند. همین دو پارامتر با استفاده از مدل او به روش تکرار ریاضی محاسبه می شوند، بدین شکل که ابتدا مقادیر اولیه فرضی در نظر گرفته می شود و با ۳۰ بار تکرار پارامترها محاسبه می شوند.

با توجه به روش های مذکور، زبری سطح خاک، ضریب ثابت دی الکتریک و طول همبستگی را با استفاده از این سه مدل برای هر سه باند به دست آورده ایم که نتایج به صورت نمودارهایی که در جهت افقی داده های زمینی و در جهت عمودی نتایج مدل، نمایش داده شده است. برای مقایسه بهتر

۲-۱-۳- مقایسه ضرایب باز پراکنش سطح

برای مقایسه ابتدا مقادیر پارامترهای خاک در مدل ها جایگذاری می شوند و سپس با مقادیر متناظر آن ها در مدل مقایسه می شوند. جایگذاری پارامترهای ضریب ثابت دی الکتریک، زبری سطح و طول همبستگی با استفاده از نرم افزار متلب ۲۰۱۳ انجام شده است. این کار برای هر سه باند C، L و P و پلاریزاسیون های افقی^۱ و عمودی^۲ صورت گرفت. بدین شکل که برای دو مدل دوبوآ و او دو پارامتر زبری سطح و ضریب ثابت دی الکتریک مربوط به منطقه مورد نظر که همان ایستگاه های واشیتا کوچک است و برای مدل رابطه تجمعی علاوه بر دو پارامتر قبلی از طول همبستگی نیز استفاده می شود که این پارامتر دقیقاً متناظر با زبری است. همچنین پارامتر ثابت دی الکتریک با توجه به فرکانس باند مورد نظر انتخاب شد و چون این پارامتر از رطوبت خاک به دست آمده در واقع در ۳۰- ۶- سانتی متر و ۳- سانتی متر است. سپس ضرایب متناظر با هر نقطه با دقت زیر پیکسل از روی تصاویر مربوط به همان روز اخذ شد. در نهایت نتایج به صورت نمودار نمایش داده خواهد شد.

¹ HH : Horizontal- Horizontal

² VV : Vertical-Vertical

مناسب مدل با منطقه، نتایج این تحقیق با دقت کمتری به دست آمده است.

پارامترهای استفاده شده برای محاسبه ضریب بازپراکنش شامل: فرکانس رادار، زاویه فرود، ثابت دیالکتریک خاک، مجدور میانگین مریع ارتفاع، طول همبستگی و تابع همبستگی است. با بررسی نتایج پیاده سازی برای پلاریزاسیون افقی افقی می‌توان دید که مدل رابطه تجمعی در باند L دارای دقت بیشتری برای محاسبه این ضریب است. ریشه میانگین مریع انحراف برای ضریب بازپراکنش در قطبش افقی^۱ در باند C برابر با $8/2580$ ، در باند L برابر با $4/0429$ بوده و در باند P برابر با $10/755$ است. ریشه میانگین مریع انحراف برای σ_{HH}^0 در باند C برابر با 6.4893 ، در باند L برابر با $4/6331$ بوده و در باند P برابر با $8/053$ است. همانگونه که در جدول (۳) نشان داده شده، مدل رابطه تجمعی در باند L نتایج بهتری نسبت به دو باند دیگر دارد. در مورد نتایج بهتر باند L آن چه که اهمیت دارد رابطه طول موج این باند و مدل IEM است. همان طور که قبل اشاره شد، مدل IEM یک مدل تئوری است و براساس داده‌های بسیار زیادی به دست آمده است و نمی‌توان به طور قاطع در مورد نتایج آن پیش‌بینی کرد. شکل (۴) نوع پراکندگی نتایج به دست آمده از مدل رابطه تجمعی مربوط به باند L در پلاریزاسیون افقی افقی را نشان می‌دهد. به جز چند مورد، سایر نتایج به دست آمده از مدل به مقداری ضریب بازپراکنش تصویر نزدیک است.

¹ σ_{HH}^0

بر روی هر نمودار نیمساز دو محور و همچنین ریشه میانگین مریع انحراف درج شده است.

۳- نتایج و بحث

در این بخش به طور مجزا ابتدا به مقایسه ضرایب بازپراکنش‌های سطح بین مدل‌ها و تصویر می‌پردازیم و در پایان به تحلیل و بررسی نتایج هر مدل پرداخته می‌شود. پس از این، در مرحله دوم پارامترهای سطح خاک را به تفکیک نمایش داده می‌شود و در انتهای هر پارامتر آنالیز آن بیان شده است.

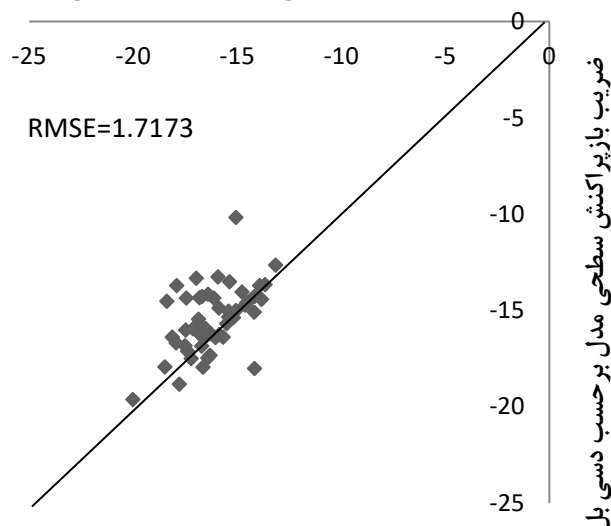
در بخش اول نتایج را به تفکیک مدل به صورت جدول (۲) بدین صورت که ریشه میانگین مریع انحراف مدل آه برای سه باند و در دو پلاریزاسیون نمایش داده می‌شود.

جدول ۲ : نتایج مدل آه برای پلاریزاسیون‌های افقی و عمودی عمودی در سه باند L، C و P

آه	افقی افقی	عمودی عمودی
C	3.1222	1.7173
L	6.2949	5.0368
P	13.0214	14.0883

با بررسی نتایج پیاده سازی برای پلاریزاسیون افقی افقی می‌توان دید که مدل آه در باند C دارای دقت بیشتری برای محاسبه این ضریب است (شکل (۳)). ریشه میانگین مریع انحراف برای σ_{HH}^0 در باند C برابر با $3/1222$ ، در باند L برابر با $6/2949$ بوده و در باند P برابر با 13.0214 است. ریشه میانگین مریع انحراف برای σ_{VV}^0 در باند C برابر با $1/7173$ ، در باند L برابر با 5.0368 بوده و در باند P برابر با $14/0883$ است. در نتیجه مدل آه در باند C برای هر دو پلاریزاسیون نتایج بهتری نسبت به دو باند دیگر دارد. با توجه به این که مدل آه براساس باند C به دست آمده است، نتایج بهتر این مدل قابل پیش‌بینی بود، هم چنین به دلیل تعداد کمتر داده نسبت به تحقیق آه و همکارن [۶] و نیز عدم تطابق

ضریب باز پراکنش سطحی تصویر بر حسب دسی بل

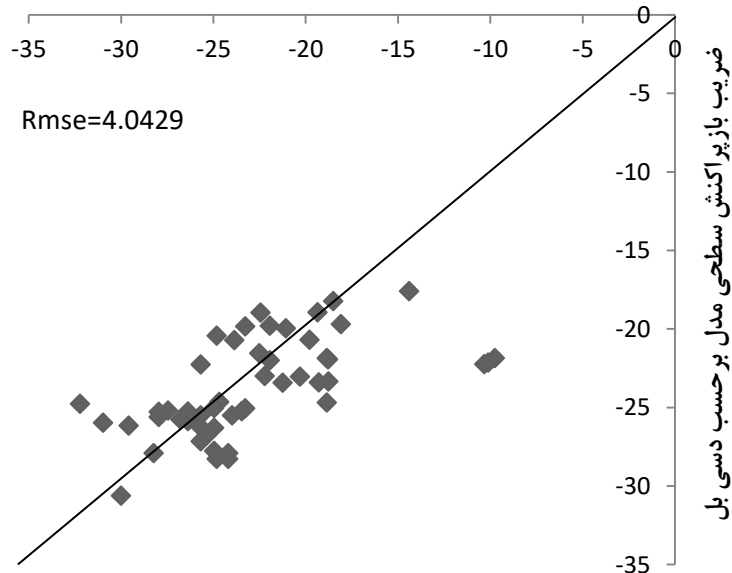


شکل ۳ : ضریب باز پراکنش سطحی مدل آه در پلاریزاسیون عمودی عمودی و باند

جدول ۳ : نتایج مدل رابطه تجمعی برای پلاریزاسیون های افقی و عمودی عمودی در سه باند L, C و P

رابطه تجمعی	افقی افقی	عمودی عمودی
C	8.2580	6.4893
L	4.0429	4.6331
P	10.755	8.0534

ضریب باز پراکنش سطحی تصویر بر حسب دسی بل



شکل ۴ : ضریب باز پراکنش سطحی مدل رابطه تجمعی در پلاریزاسیون افقی افقی و باند L

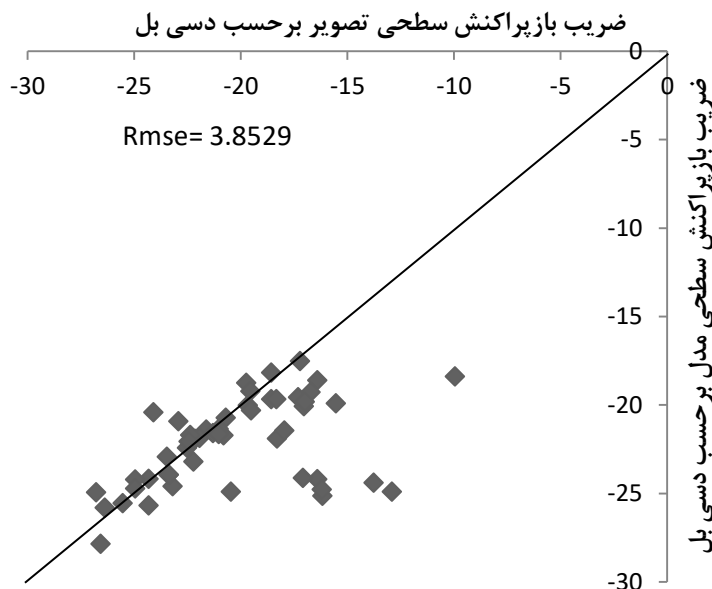
در نتیجه مدل دوبوآ در باند L نتایج بهتری نسبت به دو باند دیگر دارد.

تمامی نتایج به دست آمده از مدل دوبوآ در جدول (۴) آمده است اما به دلیل محدودیت، فقط نمودار این مدل در باند L برای پلاریزاسیون عمودی عمودی در عنوان مثال نشان داده شده است. شکل (۵) دقت مناسب این مدل در تخمین ضریب بازپراکنش را در باند L نشان می‌دهد.

با بررسی نتایج پیاده‌سازی برای پلاریزاسیون افقی افقی مربوط به مدل دوبوآ، می‌توان دید که مدل دوبوآ در باند L دارای دقت بیشتری برای محاسبه این ضریب است. ریشه میانگین مربع انحراف برای σ_{HH}^0 در باند C برابر با ۵.۱۲۸۳، در باند L برابر با ۴.۷۶۳۷ بوده و در باند P برابر با ۸.۱۶۱۰ است. ریشه میانگین مربع انحراف برای σ_{VV}^0 در باند C برابر با ۴.۲۷۹۷، در باند L برابر با ۳.۸۵۲۹ بوده و در باند P برابر با ۸.۳۱۳۰ است.

جدول ۴ : نتایج مدل دوبوآ برای پلاریزاسیون‌های افقی و عمودی عمودی در سه باند L و C و P

دو بوا	افقی افقی	عمودی عمودی
C	5.1283	4.2797
L	4.7637	3.8529
P	8.1610	8.3130



شکل ۵ : ضریب بازپراکنش سطحی مدل دوبوآ در پلاریزاسیون عمودی و باند L

در باند C بهترین دقت را داشتند. نتایج باند P با توجه به طول موج و عدم استفاده از آن در طراحی مدل‌ها نتایج قابل پیش‌بینی بود و این تحقیق برای مقایسه نتایج اولین بار از این باند استفاده کرده است. دقت بهتر مدل رابطه تجمعی در باند L به دلیل نوع رفتار این مدل

جدول (۵) بیان می‌کند که کدام مدل برای کدام باند و کدام پلاریزاسیون مناسب‌تر است. در واقع این جدول خلاصه‌ای از بخش اول این تحقیق است. شایان ذکر است که در تمامی نتایج به دست آمده برای ضریب بازپراکنش افقی، مدل آه در باند C و برای ضریب بازپراکنش عمودی نیز مدل آه

در تخمین زبری استفاده شده است، درجه آزادی ۴ در حصول نتایج دقیق تاثیرگذار بود. نتایج مذکور از دقت بهتری نسبت به آلوارز و همکاران [۹]، نئوش و همکاران [۱۵] و سیکدار و همکاران [۱۰] نتایج برخوردار است.

جدول ۶: نتایج زبری سطح خاک برای مدل های آه، دوبوآ و رابطه تجمعی در سه باند L، C و P

زبری سطح	رابطه تجمعی	آه	دوبوآ
C		0.8895	1.754
L	0.1801	1.3196	0.3314
P		3.3574	1.7682

با توجه به نتایج بهتر مدل رابطه تجمعی فقط نمودار مربوط به این مدل برای تخمین زبری سطح خاک آمده است (شکل (۶)) و از نمایش سایر مدل ها خودداری شده است.

نتایج ضریب ثابت دیالکتریک ابتدا برای دو مدل آه و دوبوآ به دست آمد و سپس از روش بندلیش برای مدل رابطه تجمعی محاسبه شد. ضریب ثابت دیالکتریک با استفاده از دو مدل آه و رابطه تجمعی و در سه باند P، L و C محاسبه شد که با مقایسه ۶ ریشه میانگین مربع انحراف به دست آمده (شکل (۷)) مدل آه با ریشه میانگین مربع انحراف ۲.۴۶۳۶ در باند L دقت خوبی دارد، هرچند که طبق پیشビینی مدل رابطه تجمعی در روش بندلیش با ریشه میانگین مربع انحراف ۲.۴۳۳۰ نتیجه بهتری داده است (جدول (۷)). در تخمین ضریب ثابت دیالکتریک به صورت قاطع نمی توان گفت کدام مدل بهتر است، چون علاوه بر عمق نفوذ، شرایط مختلفی مانند منطقه مورد مطالعه دخیل هستند. هرچند که نتایج این تحقیق در مقایسه دو مدل دوبوآ و آه مانند صاحبی و همکاران [۱۴]، شی و همکاران [۸]،

با پارامتر زبری سطح است، همان طور که در مقدمه بیان شد، زبری در این مدل آنچنان تاثیری ندارد و با ذکر این نکته که طول موج باند L نسبت به باند C بلندتر است، تاثیر داده زبری در نتایج کمتر دیده می شود. نتایج مدل دوبوآ در مقایسه با تحقیقات دیگر آه و همکاران [۶] و دوبوآ و همکاران [۱۶] از دقت کمتری برخوردار است هرچند که در مقایسه نتایج مدل ها فاکتور مهم منطقه با شرایط یکسان بسیار تاثیرگذار است.

جدول ۵: بهترین مدل در هر پلاریزاسیون و باند در تخمین ضریب بازپراکنش سطح

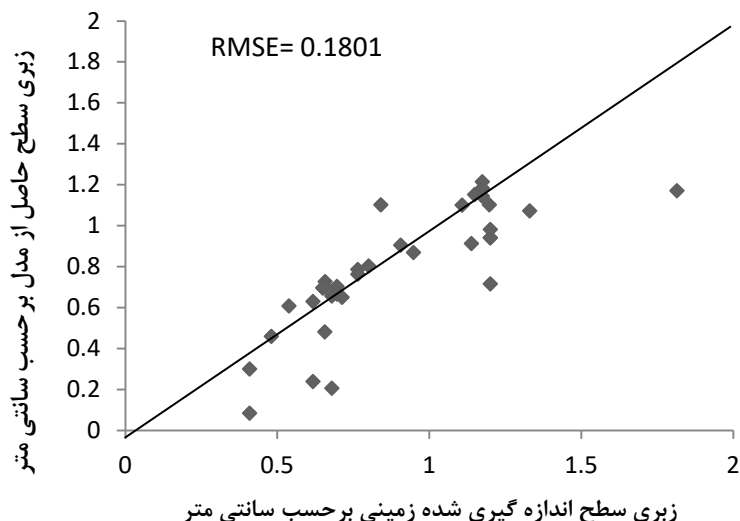
	افقی افقی	عمودی عمودی
C	آه	آه
L	رابطه تجمعی	دوبوآ
P	دوبوآ	رابطه تجمعی

در ادامه به بررسی نتایج به دست آمده پارامترهای سطح خاک می پردازیم. پارامتر زبری همان طور که بیان شد، با استفاده از معکوس مدل آه در ۳ پلاریزاسیون افقی افقی، عمودی عمودی و افقی عمودی و همچنین در مدل دوبوآ در ۲ پلاریزاسیون افقی افقی و عمودی عمودی محاسبه گردید. در جدول (۶) مشخص است که این پارامتر با استفاده از مدل رابطه تجمعی بهترین نتیجه را با ریشه میانگین مربع انحراف، ۱۰۰.۰ حاصل شده است. همچنین در مقایسه دو مدل دیگر در باندهای سه گانه مدل دوبوآ در باند L دقت بهتری دارد، با توجه به این که دقت مدل آه در باند C با ریشه میانگین مربع انحراف ۰.۸۸۹۵ نیز قابل توجه است. با تمامی تفاسیر، مدل رابطه تجمعی با روش بندلیش، بهترین دقت را داراست. نتایج مدل رابطه تجمعی با استفاده از روش ریاضی مناسبتری از سایر مدل ها به دست آمده است؛ علاوه بر اینکه از هر سه باند

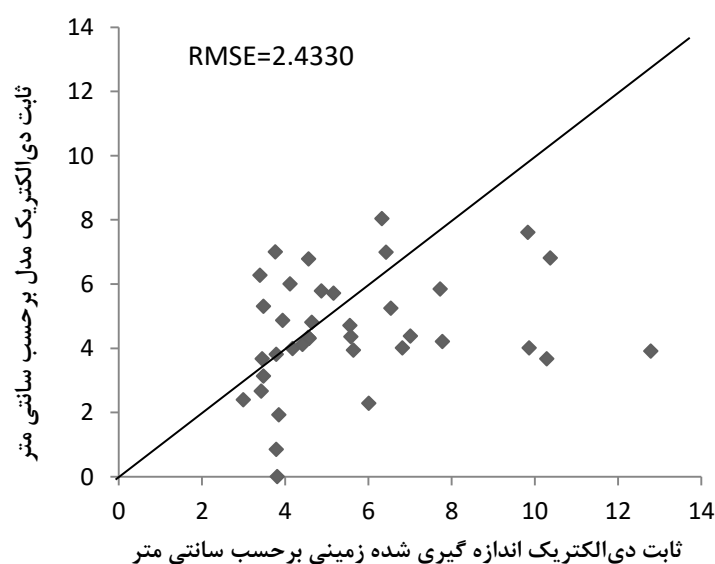
جدول ۷: نتایج ضریب ثابت دیالکتریک برای مدل‌های آه،
دوبوآ و رابطه تجمعی در سه باند L، C و P

ثابت دیالکتریک	رابطه تجمعی	آه	دوبوآ
C		3.1783	1.754
L	2.4330	2.4636	6.9417
P		3.0626	13.6962

بندیش و همکاران [۱۵] و از روند یکسانی برخوردار نیست ولی نتایج دوبوآ را می‌توان در تطبیق پذیری بهتر با سایر پارامترها در فرآیند بهدهشت آوردن ثابت دیالکتریک جستجو کرد.



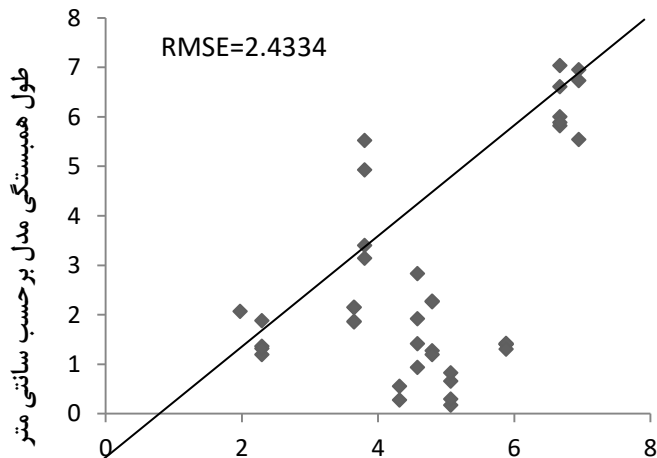
شکل ۶: زبری سطح خاک مدل رابطه تجمعی در سه باند C، L و P



شکل ۷: ضریب ثابت دیالکتریک سطح خاک مدل رابطه تجمعی در سه باند C، L و P

به دست آمده است. شکل (۸) نمایانگر نحوه عملکرد این مدل در تخمین طول همبستگی است.

همچنین طول همبستگی نیز با استفاده از مدل رابطه تجمعی در سه باند و در دو پلاریزاسیون



شکل ۸: طول همبستگی سطح خاک مدل رابطه تجمعی در سه باند C، L و P

بخش اول به مقایسه ضریب بازپراکنش افقی و عمودی عمودی منتج از مدل و مقدار متناظر تصویری آن پرداختیم که در نهایت برای مدل رابطه تجمعی برای ضریب بازپراکنش افقی افقی، باند L و برای ضریب بازپراکنش عمودی عمودی نیز باند L بهترین دقت را داشتند. در مدل آه، باند C برای هر دو ضریب بالاترین دقت و برای مدل دوبوآ، باند L بیشترین دقت را داشت.

در نهایت می‌توان نتایج تحقیق را به دو بخش تقسیم کرد، در بخش مقایسه ضرایب بازپراکنش، مدل آه در باند C با ریشه میانگین مربع انحراف ۳.۱۲۲۲ بهترین دقت را دارد. در این بخش مدل‌های دوبوآ و رابطه تجمعی در باند L دقت‌های مناسبی دارند، اما نسبت به بهترین حالت نتایج ضعیف‌تری داشتند.

در بخش بازیابی پارامترهای سطح خاک به عنوان اصلی‌ترین هدف تحقیق، روش حل معادلات با استفاده از سرشکنی که روی مدل رابطه تجمعی

از آنجایی که طول همبستگی فقط در مدل رابطه تجمعی هست، پس تنها می‌توان از این مدل این پارامتر را به دست آورد که با استفاده از روش بندلیش، به دقت مناسبی با ریشه میانگین مربع انحراف ۲.۴۳۳۴ برای این پارامتر رسیده‌ایم. تحقیقات مستندی زیادی راجع به این پارامتر به صورت جداگانه وجود ندارد و اکثر تحقیقات به صورت کلی در قالب زبری بیان شده است.

۴- نتیجه گیری

شاید بتوان ادعا کرد که با توجه به تعدد مدل‌های بازپراکنش سطح و روش‌های مختلف معکوس ریاضی و فیزیکی، دهها روش برای بازیابی پارامترهای سطح خاک وجود دارد؛ در این تحقیق سعی شد با توجه به داده‌های موجود و پیشینه مدل‌های بازپراکنش سطح، از سه مدل آه، دوبوآ و رابطه تجمعی در سه باند L، C و P که مربوط به پروژه آزمایشات رطوبت خاک ۰۳ در منطقه اوکلاهومای جنوبی استفاده شود. در

سایر مدل‌ها دارد. هم چنین نتایج ضعیفتر مدل‌های نیمه تجربی در تخمین پارامترهای سطح خاک نسبت به مدل تئوری رابطه تجمعی اشاره کرد.

سپاسگزاری

تقدیر و تشکر به عمل می‌آوریم از مسئولین پژوهه آزمایشات رطوبت خاک (SMEX) که داده‌های موردنیاز این تحقیق را در وبگاه خود برای تحقیقات در زمینه‌های مختلف قرار داده اند.

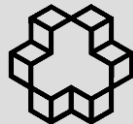
صورت گرفت، در تخمین تمامی پارامترها نتایج بدقت بهتری به دست آمدند، در تخمین زبری سطح ریشه میانگین مربع انحراف 0.1801 ± 0.2433 به دست آمد، هرچند که مدل α در باند C برای تخمین زبری سطح و همین مدل در باند L برای تخمین ضریب ثابت دی‌الکتریک نتایج مناسبی به دست آمد.

از جمله نتایج این تحقیق می‌توان به نتایج نامناسب باند P اشاره کرد، که نتایج بسیار نامناسبی نسبت به

مراجع

- [1] Pathe, C., Wagner, W., Sabel, D., Doubkova, M., & Basara, J. B.. "Using ENVISAT ASAR global mode data for surface soil moisture retrieval over Oklahoma, USA". *Geoscience and Remote Sensing, IEEE Transactions on*, 47(2), 468-480, (2009).
- [2] Topp, G. C., Davis, J. L., and Annan, A. P.. "Electromagnetic determination of soil water content: Measurements in coaxial transmission lines". *Water Resources Research*, 16(3), 574-582, (1980).
- [3] Walker, J. P.. "Estimating soil moisture profile dynamics from near-surface soil moisture measurements and standard meteorological data".(Doctoral dissertation, The University of Newcastle), (1999).
- [4] Baronti, S., Carla, R., Sigismondi, S., & Alparone, L. "Principal component analysis for change detection on polarimetric multitemporal SAR data". In *Geoscience and Remote Sensing Symposium, 1994. IGARSS'94. Surface and Atmospheric Remote Sensing: Technologies, Data Analysis and Interpretation.*, International IEEE,4, (1994, August).
- [5] Ulaby, F.T.; Moore, R.K.; Fung, A.K.. "Microwave Remote Sensing: Active and Passive. Volume Scattering and Emission Theory,Advanced Systems and Applications". Dedham, MA, USA,14, (
- [6] Oh, Y., Sarabandi, K., & Ulaby, F. T. "An empirical model and an inversion technique for radar scattering from bare soil surfaces". *Geoscience and Remote Sensing, IEEE Transactions on*, 30(2), 370-381, (1992)..
- [7] Fung, A.K.; Li, Z.; Chen, K.S. "Backscattering from a randomly rough dielectric surface". *IEEE Trans. Geosci. Remote Sens.*, 30, 356-369.(1992).
- [8] Shi, J.; Wang, J.; Hsu, A.Y.; O'Neill, P.E.; Engman, E.T. "Estimation of bare surface soil moisture and surface roughness parameter using L-band SAR image data". *IEEE Trans. Geosci. Remote Sens.*, 35, 1254-1266.(1997).
- [9] Álvarez-Mozos, J., Gonzalez-Audicana, M., & Casalí, J. "Evaluation of empirical and semi-empirical backscattering models for surface soil moisture estimation". *Canadian Journal of Remote Sensing*, 33(3), 176-188. (2007).
- [10] Sikdar, M.; Cumming, I. "A modified empirical model for soil moisture estimation in vegetated areas using SAR data". In *Proceedings of the IEEE International Geoscience and Remote Sensing Symposium (IGARSS '04)*, Anchorage, AK, USA,; pp. 803-806, (2004).
- [11] Neusch, T.; Sties, M. "Application of the

- Dubois-model using experimental synthetic aperture radar data for the determination of soil moisture and surface roughness". ISPRS J. Photogramm. Remote Sens., 54, 273-278, (1999).
- [12] Sahebi M. R. and J. Angles. "An inversion method based on multi-angular approaches for estimating bare soil surface parameters from RADARSAT-1". Hydrol. Earth Syst. Sci. Discuss., 6, 207–241,(2009).
- [13] Sahebi, M.R.; Bonn, F.; Bénié, G.B. "Neural networks for the inversion of soil surface parameters from synthetic aperture radar satellite data". Can. J. Civil Eng., 31, 95-108,(2004).
- [14] Sahebi, M. R. ; Bonn, F. ; Gwyn, Q. H. J. "Estimation of bare soil surface moisture from RADARSAT using simple empirical models". International Journal of Remote Sensing, 24, 2575-2582, (2003).
- [15] Bindlish, R. and A. P. Barros. "Multifrequency Soil Moisture Inversion from SAR Measurements with the Use of IEM. REMOTE SENS". ENVIRON. 71:67–88, (2000).
- [16] Dubois, P. C., & Van Zyl, J. "An empirical soil moisture estimation algorithm using imaging radar". In Geoscience and Remote Sensing Symposium. IGARSS'94 (Vol. 3, pp. 1573-1575). IEEE, (1994, August).



Comparison of backscattering soil surface models to validate and inversion physical parameters

Seyed Mohammad MirMazloumi. *¹, Mahmud Reza Sahebi. ²

1- MSc graduated, Remote Sensing Eng. Dept., KN Toosi University of Technology
2- Assistant Professor, Remote Sensing Eng. Dept., KN Toosi University of Technology

Abstract

Using SAR data is the best and the most popular method for retrieving soil surface parameters. This research is trying to choose the best model to estimate soil surface parameters from SMEX03 data over southern Oklahoma. First, backscattering coefficients obtained from the Oh, Dubois, and IEM backscattering models in L, C, and P bands were compared with backscattering coefficients of the images in HH and VV polarization and the best model was chosen. Then soil roughness, dielectric constant and correlation length estimated from inversion backscattering models based on the mathematical algorithms and compared with corresponding result measured by ground truth.

In backscatter coefficients comparison section, the Oh model in band C presented the most accurate results. In this section, Dubois and IEM models in band L had appropriate accuracies. However, their results were weaker than the best result. In retrieving soil surface parameters section, the main purpose of the research, variables solution with adjustment on IEM provided better accuracy for estimating all parameters; however, the Oh model in band C for estimating surface roughness and in band L for estimation of dielectric constant presented the appropriate results. Inaccurate results of band P was another result calculated in this research. The results of band P presented the least satisfactory results in this work. In conclusion, the results of empirical models are weaker than of the results obtained from the theoretical model (IEM). In addition, using more accurate ground truth data might result in obtaining more accurate validation part.

Key words: Backscattering models, Remote Sensing, SAR, Soil surface parameters.

Correspondence Address: Remote Sensing Group, Department of Geomatics, College of Engineering, University of Tehran, KN Toosi, Iran.
Tel: +98 9112900995
Email: mohammad.mazloumi@yahoo.com